Markovove procesy Teória hromadnej obsluhy

doc. RNDr. Štefan Peško, CSc.

Katedra matematických metód, FRI ŽU

17. októbra 2013

Markovove procesy

Náhodný reťazec $\{\mathbb{X}(t)\}_{t\in\mathcal{T}}$ s množinou stavov S nazveme Markovov proces, ak

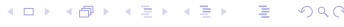
- 1 množina $T=\langle 0,\infty \rangle$,
- 2 platí Markovova vlastnosť:

$$\forall t_0, t_1, \dots, t_{n+1} \in \mathcal{T} : t_o < t_1 < \dots t_{n+1}, \forall i_0, i_1, \dots, i_{n-1}, i, j \in \mathcal{S} : \mathcal{P}(\mathbb{X}(t_{n+1}) = j | \mathbb{X}(t_n) = i, \mathbb{X}(t_{n-1}) = i_{n-1}, \dots, \mathbb{X}(t_0) = i_0) = \mathcal{P}(\mathbb{X}(t_{n+1}) = j | \mathbb{X}(t_n) = i).$$

Ak $\mathbb{X}(t)=i$, potom hovoríme, že proces je v čase t v stave i.

Poznámka

Pojem Markovov proces sa používa hlavne v technickej literatúre miesto zdĺhavého názvu Markovov reťazec so spojitým časom.



Homogénne Markovove procesy

Markovov proces $\{X(t)\}_{t\in\mathcal{T}}$ nazveme homogénny (v čase), ak platí:

$$\forall t_1, t_1 + h, t_2, t_2 + h \in T, \forall i, j \in S :$$

 $\mathcal{P}(\mathbb{X}(t_1 + h) = j | \mathbb{X}(t_1) = i) = \mathcal{P}(\mathbb{X}(t_2 + h) = j | \mathbb{X}(t_2) = i).$

Pravdepodobnosti prechodu zo stavu i do stavu j za čas h označíme

$$p_{ij}(h) = \left\{ egin{array}{ll} \mathcal{P}(\mathbb{X}(t+h) = j | \mathbb{X}(t) = i) & \mbox{ak } h > 0 \ 1 & \mbox{ak } h = 0, i = j \ 0 & \mbox{ak } h = 0, i
eq j \end{array}
ight.$$

a usporiadame do matice pravdepodobností prechodu za čas h

$$\mathbf{P}(h) = (p_{ij}(h))_{i,j \in S}.$$

Pravdepodobnosť, že sa proces v čase $t \in T$ nachádza v stave $j \in S$ označíme $p_j(t) = \mathcal{P}(\mathbb{X}(t) = j)$ a po usporiadaní v tvare $\mathbf{p}(t) = \left(p_j(t)\right)_{j \in S}$ nazývame pp. rozdelenie procesu v čase t.

Počiatočným rozdelením procesu rozumieme $\mathbf{p}(0)$.

Príklad 2.1

V dvoch urnách je opäť 5 guličiek. Teraz nás však bude zaujímať chovanie guličiek v reálnom čase. Nech je na začiatku pozorovania je 1.urna prázdna. Dĺžky časových intervalov medzi jednotlivými zmenami počtu guličiek v urnách sú náhodné, nezávislé a nie sú ovplyvnené zmenami počtu guličiek v urnách. Pravdepodobnosť zmien počas intervalu danej dĺžky nezávisí od polohy tohoto intervalu na časovbej osi. Navrhnite model, ktorý umožní výpočet stredného počtu guličiek v 1.urne ako funkciu doby trvania pozorovania.

Nech $\mathbb{X}(t)$ udáva počet guličiek v 1.urne v čase pozorovania $t \in \mathcal{T}$. Jedná sa o homogénny Markovov proces s počiatočným rozdelením $\mathbf{p}(0) = (1,0,0,0,0,0)$. Potom stredný počet guličiek v 1.urne je v čase t určený vzťahom

$$E(X(t)) = 1 \cdot p_1(t) + 2 \cdot p_2(t) + 3 \cdot p_3(t) + 4 \cdot p_4(t) + 5 \cdot p_5(t).$$

Chapman-Kolmogorovove tvrdenia

Veta 2.1

$$P(r+s) = P(r)P(s) \quad \forall r, s \in T.$$
 (1)

Veta 2.2

$$\mathbf{p}(t+h) = \mathbf{p}(t)\mathbf{P}(h) \quad \forall t, h \in T.$$
 (2)

Poznámka

Hovoríme, že reálna funkcia reálnej premennej f(x) je pre $x \to 0$ rádovo menšia než x a zapisujeme $f(x) \equiv o(x)$ pre $x \to 0$ ak platí

$$\lim_{x\to 0}\frac{f(x)}{x}=0.$$

Overte, že platí o(x) + o(x) = o(x), $K \cdot o(x) = o(x)$.

Intenzity prechodu

Intenzitou prechodu zo stavu i do stavu j rozumieme

$$\lambda_{ij} = \begin{cases} \lim_{h \to 0+} \frac{p_{ij}(h)}{h} & \text{ak } i \neq j \\ \lim_{h \to 0+} \frac{1 - p_{ii}(h)}{h} & \text{ak } i = j \end{cases}$$
 (3)

a zvykneme usporiadať do matice intenzít prechodu $\mathbf{Q}=(q_{i,j})_{i,j\in\mathcal{S}}$, kde

$$q_{ij} = \begin{cases} \lambda_{ij} & \text{ak } i \neq j \\ -\lambda_{ii} & \text{ak } i = j. \end{cases}$$
 (4)

Cvičenie:

Z (3), (4) a $\sum_{j \in S} p_{ij}(h) = 1$ overte platnosť rovnosti

$$\sum_{i\in S}q_{ij}=0\quad\forall i\in S.$$



Príklad 2.2 pokračovanie 2.1

Predpokladajme, že inteznity prechodu medzi rôznymi (bezprostredne dostupnými) stavmi urien sú rovnaké a nezávislé od počtu guličiek v urnách. Definujte v tomto modeli maticú intenzít prechodu a maticu pravdepodobnosti prechodu za veľmi malú dobu Δt .

Všetky možné bezprostredné prechody budú mať konštantnú intenzitu prechodu λ

$$\mathbf{Q} = \begin{pmatrix} -\lambda & \lambda & 0 & 0 & 0 & 0 \\ \lambda & -2\lambda & \lambda & 0 & 0 & 0 \\ 0 & \lambda & -2\lambda & \lambda & 0 & 0 \\ 0 & 0 & \lambda & -2\lambda & \lambda & 0 \\ 0 & 0 & 0 & \lambda & -2\lambda & \lambda \\ 0 & 0 & 0 & 0 & \lambda & -\lambda \end{pmatrix}$$

Potom $\mathbf{P}(\Delta t) = \mathbf{E} + \mathbf{Q} \cdot \Delta t + \mathbf{I} \cdot o(\Delta t)$ pre malé Δt .



Kolmogorovove diferenciálne rovnice

Veta 2.3

$$\mathbf{p}'(t) = \mathbf{p}(t)\mathbf{Q} \quad \forall t \in \mathcal{T}. \tag{5}$$

Dôkaz: Označme **E** jednotkovú maticu a I maticu jednotiek. Z Chapman-Kolmogorovovej vety 2.2 dostaneme

$$\frac{\mathsf{p}(t+\Delta t)-\mathsf{p}(t)}{\Delta t}=\frac{\mathsf{p}(t)\mathsf{P}(\Delta t)-\mathsf{p}(t)\mathsf{E}}{\Delta t}=\mathsf{p}(t)\mathsf{Q}+\frac{o(\Delta t)}{\Delta t}\mathsf{p}(t)\mathsf{I}.$$

Po limitnom prechode $\Delta t \rightarrow 0^+$ máme tvrdenie vety. ullet



Príklad 2.3 pokračovanie 2.2

Bude nás zaujímať dynamika chovania guličiek, ak na začiatku pozorovania je rovnako pravdepodobné, že sú všetky guličky buď v prvej alebo druhej urne.

Potom systém Kolmogorovových diferenciálnych rovníc má tvar

$$\begin{aligned}
 p_0'(t) &= -\lambda p_0(t) + \lambda p_1(t) \\
 p_1'(t) &= \lambda p_0(t) - 2\lambda p_1(t) + \lambda p_2(t) \\
 p_2'(t) &= \lambda p_1(t) - 2\lambda p_2(t) + \lambda p_3(t) \\
 p_3'(t) &= \lambda p_2(t) - 2\lambda p_3(t) + \lambda p_4(t) \\
 p_4'(t) &= \lambda p_3(t) - 2\lambda p_4(t) + \lambda p_5(t) \\
 p_5'(t) &= \lambda p_4(t) - \lambda p_5(t)
 \end{aligned}$$

s počiatočnými podmienkami $\mathbf{p}(0) = \left(\frac{1}{2}, 0, 0, 0, 0, \frac{1}{2}\right)$.



Riešenie $\mathbf{p}'(t) = \mathbf{p}(t)\mathbf{Q}$

Po úprave na tvar

$$\frac{\mathsf{p}'(t)}{\mathsf{p}(t)} = \mathsf{Q}$$

a integrovaní máme

$$\mathbf{p}(t) = \mathbf{c}e^{\mathbf{Q}t},$$

kde $\mathbf{c} = (c_0, c_1, \dots)$ je konštantný vektor a

$$e^{\mathbf{Q}t} = \mathbf{E} + \frac{t}{1!}\mathbf{Q} + \frac{t^2}{2!}\mathbf{Q}^2 + \frac{t^3}{3!}\mathbf{Q}^3 + \dots$$

Potom pre počiatočné rozdelenie procesu $\mathbf{p}(0)$ poznáme explicitný tvar riešenia sytému Kolmogorovových diferenciálnych rovníc

$$\mathbf{p}(t) = \mathbf{p}(0)e^{\mathbf{Q}t}.$$



Stacionárne rozdelenie a regulárny proces

Nech ${f Q}$ je matica intenzít. Potom vektor ${m \pi}=(\pi_j)_{j\in S}$ pre ktorý platí

$$egin{array}{lcl} m{\pi} m{Q} & = & m{0} \ \sum_{j \in \mathcal{S}} \pi_j & = & 1 \ \pi_j & \geq & 0 & orall j \in \mathcal{S} \end{array}$$

nazývame stacionárne rozdelenie procesu určeného maticou intenzít **Q**.

Ak existuje limita

$$\lim_{t\to\infty}\mathsf{p}(t)=\pi>0$$

a toto limitné rozdelenie nezávisí na $\mathbf{p}(0)$, potom Markovov proces nazveme regulárny.



Veta 2.4

Limitné rozdelenie regulárneho procesu je stacionárne.

Veta 2.5 (Markovova)

Ak existuje t>0, že všetky prvky matice $\mathbf{P}(t)$ sú kladné, potom je príslušný Markovov proces regulárny.

Príklad 2.4 pokračovanie 2.3

Bude nás zaujímať chovania guličiek v čase keď sa systém stabilizuje.

Hľadáme stacinárne rozdelenie procesu riešením systému lineárnych rovníc

$$0 = -\lambda \pi_0 + \lambda \pi_1$$

$$0 = \lambda \pi_0 - 2\lambda \pi_1 + \lambda \pi_2$$

$$\vdots$$

$$0 = \lambda \pi_3 - 2\lambda \pi_4 + \lambda \pi_5$$

$$0 = \lambda \pi_4 - \lambda \pi_5$$

$$1 = \pi_0 + \pi_1 + \dots + \pi_5$$

ktorý má očakávané riešenie $\mathbf{p}(0) = \left(\frac{1}{6}, \frac{1}{6}, \frac{1}{6}, \frac{1}{6}, \frac{1}{6}, \frac{1}{6}\right)$. Je príslušný Markovov proces regulárny?



Prechodový graf Markovovho procesu

Nech $\mathbf{Q}=(q_{ij})_{i,j\in S}$ je matica intenzít Markovovho procesu s množinou stavov S. Potom prechodovým grafom procesu rozumieme hranovo ohodnotený orientovaný graf G=(S,H,c) s množinou vrcholov S, množinou orientovaných hrán

$$H = \{(i,j) \in S \times S : q_{ij} \neq 0\}$$

a ohodnotním hrán $c: H o (-\infty, \infty)$ určeného $c(i,j) = q_{ij}$.

Poznámka

Pre zjednodušenie obrázku prechodového grafu budeme ďalej, ak nebude hroziť nedorozumenie, vynechávat kreslenie slučiek (i, i). Ich ohodnotenie získame ľahko zo vzťahu

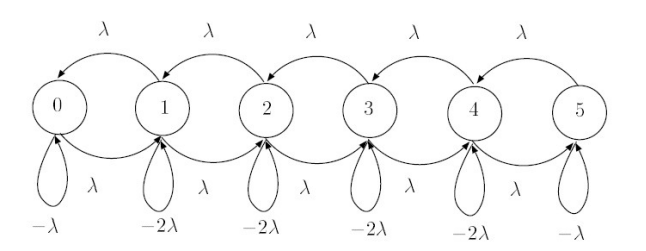
$$q_{ii} = -\sum_{j \in S - \{i\}} q_{ij}.$$



Príklad 2.5 pokračovanie 2.2

Nahraďme maticu \mathbf{Q} intenzít prechodovým grafom G.

$$\mathbf{Q} = \begin{pmatrix} -\lambda & \lambda & 0 & 0 & 0 & 0 \\ \lambda & -2\lambda & \lambda & 0 & 0 & 0 \\ 0 & \lambda & -2\lambda & \lambda & 0 & 0 \\ 0 & 0 & \lambda & -2\lambda & \lambda & 0 \\ 0 & 0 & 0 & \lambda & -2\lambda & \lambda \\ 0 & 0 & 0 & 0 & \lambda & -\lambda \end{pmatrix}$$



Obr. 1: Prechodový graf G so zobrazenými slučkami

Prechodový graf Markovovho reťazca

Nech $\mathbf{P}=(p_{ij})_{i,j\in S}$ je matica prechodu Markovovho reťazca s množinou stavov S. Potom prechodovým grafom reťazca rozumieme hranovo ohodnotený orientovaný graf G=(S,H,c) s množinou vrcholov S, množinou orientovaných hrán

$$H = \{(i,j) \in S \times S : p_{ij} > 0\}$$

a ohodnotním hrán c:H o (0,1) určeného $c(i,j)=p_{ij}$.

Poznámka

V prípade Markovovho procesu sa niekedy môžeme stretnúť aj s prechodovým grafom G=(S,H,c), kde je ohodnotenie hrán grafu definované takto $c(i,j)=p_{ij}(\Delta t)$. Ako sa zmení obr.1. z prikladu 2.5.?



Markovova veta

Význam reprezentácie procesu určného maticou ${\bf Q}$ prechodovými grafom ${\cal G}$ nie je len vo väčšej prehľadnosti prechodov medzi stavmi. Zaujimavá je napr. grafová reformulácia vety 2.5.

Veta 2.5 (Markovova)

Mech G=(S,H,c) je prechodový graf Markovovho procesu s maticou intenzít \mathbf{Q} . Ak existuje prirodzené číslo n, že pre ľubovoľnú dvojicu vrcholov $i,j\in S$ existuje orientovaný sled dĺžky n z vrcholu i do vrcholu j, potom je Markovov reťazec ragulárny.

Poznámka

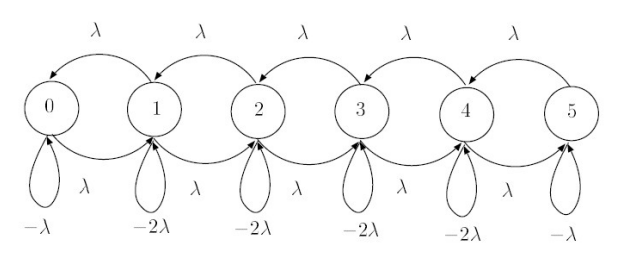
V teórii grafov pod pojmom orientovaný sled dĺžky n z vrcholu v_0 do vrcholu v_n v orientovanom grafe G = (V, H) rozumieme striedavú postupnosť vrcholov a hrán

$$v_0, (v_0, v_1), v_1, (v_1, v_2), v_2, \dots, (v_{n-1}, v_n), v_n$$

kde
$$v_0, v_1, v_2, \dots, v_n \in V$$
 a $(v_0, v_1), (v_1, v_2), \dots, (v_{n-1}, v_n) \in H$.

Príklad 2.6

Ukážte, že Markovov proces z príkladu 2.5 je regulárny.



Obr. 2: Prechodový graf G

Zvolíme n=5 a ukážeme pre ľubovoľné vrcholy $i,j\in S$ prechodového grafu G existuje orientovaný sled dĺžky 5 z $i\to j$. Vzorom takého orientovaného sledu $0\to 3$ je

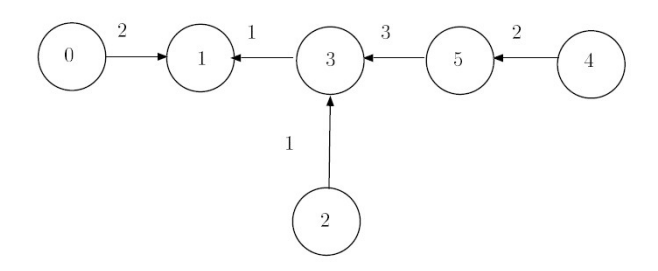
$$0, (0, 1), 1, (1, 2), 2, (2, 3), 3, (3, 3), 3, (3, 3), 3.$$

Analogicky pre ľubovoľný orientovaný $i \to j$ sled dĺžky 5 pre |i-j| < 5.

Koreňová kostra v orientovanom grafe

doc. RNDr. Štefan Peško. CSc.

Koreňovou kostrou v orientovanom grafe G = (V, H, c) rozumieme taký orientovaný strom $K = (V, H_k, c)$, $H_K \subseteq H$, ktorý obsahuje všetky vrcholy grafu, má jediný koreň (vrchol z ktorého nevychádzajú žiadne orientované hrany) a všetky jeho hrany sú orientované do koreňa (každá hrana z H_k leží práve na jednej ceste do koreňa). Ohodnotením kostry K je súčin ohodnotení hrán orientovanej kostry t.j. $c(K) = \prod_{h \in H_k} c(h)$.



Obr. 3: Príklad koreňovej kostry $K = (V, H_K, c)$ s koreňom 1 a ohodnotením c(K) = 2.1.3.2.1 = 12

Grafová metóda pre konečné reťazce/procesy

Veta 2.6 (Marklova, 1993)

Nech G=(S,H,c) je silne súvislý prechodový graf Markovovho reťazca/procesu s konečným počtom stavov S. Potom je stacionárne rozdelenie $\boldsymbol{\pi}=(\pi_j)_{j\in S}$ procesu určené vzťahom

$$\pi_j = \frac{B_j}{\sum_{i \in S} B_i},\tag{6}$$

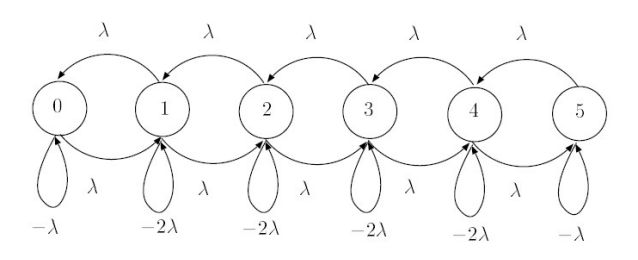
kde B_j je súčtom ohodnotení všetkých koreňových kostier, ktoré majú koreň vo vrchole j.

Poznámka

Pod pojmom silne súvislý orientovaný graf G=(V,H) rozumieme taký orientovaný graf, v ktorom pre ľubovoľné dva rôzne vrcholy $u,v\in V$ existuje orientovaný sled $u\to v$.

Príklad 2.7

Vypočítajte stacionárne rozdelenie procesu z príkladu 2.5.



Obr. 4: Prechodový graf G

Pre každý vrchol $j \in S = \{0, 1, \dots, 5\}$ existuje jediná orientovaná kostra s koreňom j, ktorá má všetky hrany ohodnotené λ a tak

$$B_j = \lambda^5, \pi_j = \frac{B_j}{\sum_{i \in S} B_i} = \frac{\lambda^5}{6 \cdot \lambda^5} = \frac{1}{6}.$$



doc. RNDr. Štefan Peško, CSc. Markovove procesy

Algebraická metóda pre konečné Markovove procesy

V Markovovom procese určenom konečnou množinou stavov $S=\{0,1,\ldots,n\}$ a maticou intenzít ${\bf Q}$ hľadáme stacinárne rozdelenie v tvare riešenia systému

$$\pi Q = \mathbf{0}, \sum_{j \in S} \pi_j = 1, \pi \geq \mathbf{0},$$

ktoré môžeme prepísať na tvar

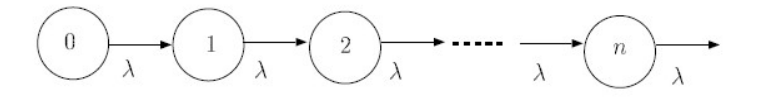
$$\mathbf{A}\boldsymbol{\pi}^T = \mathbf{b}^T, \mathbf{b} = (0, 0, \dots, 0, 1) \Rightarrow \boldsymbol{\pi}^T = \mathbf{A}^{-1}\mathbf{b}^T,$$

kde

$$\mathbf{A} = \begin{pmatrix} q_{00} & q_{10} & q_{20} & \dots & q_{n-1,0} & q_{n0} \\ q_{01} & q_{11} & q_{21} & \dots & q_{n-1,1} & q_{n1} \\ q_{02} & q_{12} & q_{22} & \dots & q_{n-1,2} & q_{n2} \\ \vdots & \vdots & \vdots & \ddots & \vdots & \vdots \\ q_{0,n-1} & q_{1,n-1} & q_{2,n-1} & \dots & q_{n-1,n-1} & q_{n,n-1} \\ 1 & 1 & 1 & \dots & 1 & 1 \end{pmatrix}$$

Poissonov proces

Homogénnym Poissonovým procesom s parametrom $\lambda, \lambda > 0$ rozumieme homogénny Markovov proces s množinou stavov $S = \{0, 1, 2, \dots\}$ s počiatočným rozdelením $\mathbf{p}(0) = (1, 0, 0, \dots)$ a s nasledujúcim prechodovým grafom



Obr. 5: Prechodový graf homogénneho Poissonovho procesu

Poznámka

Ďalej budeme v názve vynechávať slovo "homogénny" a skracovať len na Poissonov proces. So všeobecnejšími nehomogénnymi Poissonovými procesmi sa nebudeme zaoberať.

Vlastnosti Poissovho procesu

Veta 2.7

Nech $\{\mathbb{X}(t)\}_{t\in\mathcal{T}}$ je Poissonov proces s parametrom λ . Potom

$$p_{j}(t) = \frac{(\lambda t)^{j}}{j!} e^{-\lambda t} \quad \forall j \in S.$$
 (7)

Dôkaz: Matica intenzít Poissonovho procesu má tvar

$$\mathbf{Q} = \begin{pmatrix} -\lambda & \lambda & 0 & 0 & 0 & \dots \\ 0 & -\lambda & \lambda & 0 & 0 & \dots \\ 0 & 0 & -\lambda & \lambda & 0 & \dots \\ 0 & 0 & 0 & -\lambda & \lambda & \dots \\ \vdots & \vdots & \vdots & \vdots & \vdots & \dots \end{pmatrix}$$

Zo vzťahu $\mathbf{p}(t) = (1,0,0,\dots) \cdot e^{\mathbf{Q}t}$ možno pri ;-) dostatočnej trpezlivosti odvodiť tvrdenie. \bullet

Veta 2.8

Nech $\{X(t)\}_{t\in\mathcal{T}}$ je Poissonov proces s parametrom λ . Potom

$$E(X(t)) = \lambda t.$$
 (8)

Dôkaz: Z definície strednej hodnoty a vety 2.7 dostaneme

$$E(\mathbb{X}(t)) = \sum_{j=0}^{\infty} j \mathcal{P}(\mathbb{X}(t) = j) = \sum_{j=0}^{\infty} j \frac{(\lambda t)^j}{j!} e^{-\lambda t} =$$

$$= e^{-\lambda t} \sum_{j=1}^{\infty} \frac{(\lambda t)^j}{(j-1)!} = e^{-\lambda t} \cdot \lambda t \cdot \sum_{j=1}^{\infty} \frac{(\lambda t)^{j-1}}{(j-1)!} =$$

$$= e^{-\lambda t} \cdot \lambda t \cdot e^{\lambda t} = \lambda t.$$

Poznámka

Parameter λ možno interpretovať ako stredný počet udalostí (zmien stavu) za jednotku času a nazvať intenzitou Poissonovho procesu.

Elementárny tok udalostí

Elementárnym tokom udalostí rozumieme náhodnú postupnosť udalostí

$$\{t_n\}_{n=0}^{\infty} \quad 0 \le t_0 \le t_1 \le t_2 \le t_3 \le \ldots,$$

ktorá má nasledujúce vlastnosti:

- 1 stacionárnosť pp., že v intervale $(t,t+\Delta t)$ nastane k udalostí je rovnaké pre každé $t\geq 0$ pri ľubovoľnom $\Delta t\geq 0$ a celočíselnom $k\geq 0$,
- 2 beznáslednosť udalosti nemajú dodatočné pôsobenie, takže pp. výskytu udalosti v intervale $(t,t+\Delta t)$ nezávisí na počte koľkokrát sa udalosti vyskytli do okamihu t,
- 3 ordinárnosť pp., že sa v časovom intervale $(t, t + \Delta t)$ dĺžky $\Delta t \rightarrow 0$ vyskytnú aspoň dve udalosti je rádu $o(\Delta t)$.



Veta 2.9

Elementárny tok udalostí so stredným počtom udalostí za jednotku času λ je Poissonovým procesom s parametrom λ .

Poznámka

Ak z pozorovania nejakého toku udalostí zistíme, že je stacionárny, beznásledný a ordinárny, vieme že sa jedná o Poissonov proces.

Príklad 2.8

Majiteľ potravín zistil, že v rannej špičke prichádza do potravín priemerne 20 zákazníkov za 5 minút. Majiteľova manželka sa domnieva, že v priebehu 10 minút môžu očakávať príchod 30-tich zákazníkov. Optimistický majiteľ však v priebehu 10 minút očakáva príchod 40-tich zákazníkov. Kto z manželov má presnejší odhad?

Budeme predpokladať, že príchody zákazníkov sú náhodné udalosti a tok zákazníkov je elementárny tok. Zodpovedajúci Poissonov proces má intenzitu $\lambda=\frac{20}{5}=4$ zák./min. Pp. 30-tich príchodov za 10 minút je rovná

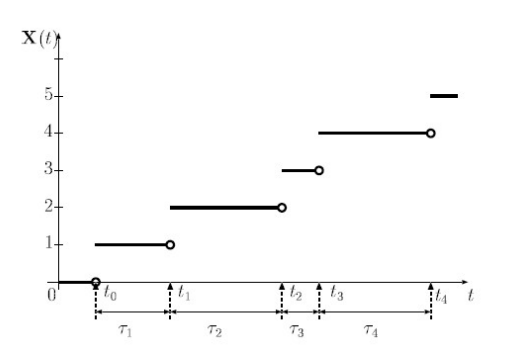
$$p_{30}(10) = \frac{(4 \cdot 10)^{30}}{30!} e^{-4.10} = 0.01847$$

a pp. 40-tich príchodov za 10 minút je rovná

$$p_{40}(10) = \frac{(4 \cdot 10)^{40}}{401} e^{-4.10} = 0.06297$$

a tak je odhad majiteľa pravdepodobnejší než odhad jeho manželky. 🚕 🧠

Medzery elementárneho toku udalostí



Obr. 6: Realizácia elementárneho toku udalostí ako Poissonov proces

Doba medzi dvoma po sebe nasledujúcimi udalosťami sa nazýva medzera, medzery budeme modelovať náhodnými veličinami

$$\boldsymbol{\tau}_k = \mathbf{t}_k - \mathbf{t}_{k-1} \quad k = 1, 2, \dots \tag{9}$$

Vlastnosti elementárneho toku udalostí

Veta 2.10

Nech $\{\boldsymbol{\tau}_k\}_{k=1}^{\infty}$ sú medzery elementárneho toku udalostí s intenzitou $\lambda.$ Potom

$$\mathcal{P}(\boldsymbol{\tau}_k > \tau) = e^{-\lambda \tau} \quad \forall \tau > 0 \tag{10}$$

Dôkaz:

Z definície medzier na obr.6 vidíme že počas trvania medzery k žiadnej ďalšej udalosti nedochádza. Pravdepodobnosť, že $\boldsymbol{\tau}_k$ nepresiahne nejkú hodnotu $\tau>0$ je rovná pp., že počas intervalu dĺžky τ k žiadnej ďalšej udalosti nedôjde. Z homogenity Poissonovho procesu máme

$$\mathcal{P}(\boldsymbol{\tau}_k > \tau) = \mathcal{P}(\mathbb{X}(\tau) = 0 | \mathbb{X}(0) = 0) = \mathcal{P}(\mathbb{X}(\tau) = 0) = p_0(\tau) = e^{-\lambda \tau}.$$



Dôsledok vety 2.10

Nech $\{\boldsymbol{\tau}_k\}_{k=1}^{\infty}$ sú medzery elementárneho toku udalostí s intenzitou $\lambda.$ Potom

$$\mathcal{P}(\boldsymbol{\tau}_{k} > t + \tau | \boldsymbol{\tau}_{k} > t) = \mathcal{P}(\boldsymbol{\tau}_{k} > \tau) \quad \forall t, \tau > 0 \quad (11)$$

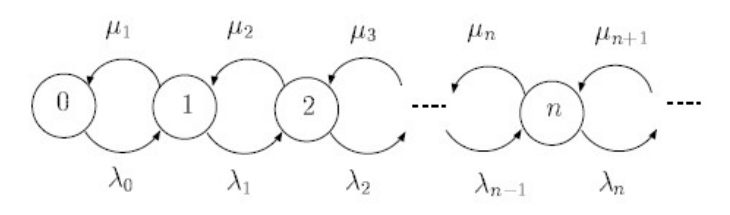
$$E(\boldsymbol{\tau}_{k}) = \frac{1}{\lambda}. \quad (12)$$

Dôkaz: Z definície podmienenej pravdepodobnosti a (10)

$$\begin{split} \mathcal{P}(\boldsymbol{\tau}_k > t + \tau | \boldsymbol{\tau}_k > t) &= \frac{\mathcal{P}(\boldsymbol{\tau}_k > t + \tau, \boldsymbol{\tau}_k > t)}{\mathcal{P}(\boldsymbol{\tau}_k > t)} = \\ &= \frac{e^{-\lambda(t+\tau)}}{e^{-\lambda t}} = e^{-\lambda \tau} = \mathcal{P}(\boldsymbol{\tau}_k > \tau). \\ E(\boldsymbol{\tau}_k) &= \int_{1}^{\infty} t \cdot \lambda e^{-\lambda t} dt = \dots = \frac{1}{\lambda}. \end{split}$$

Proces vzniku a zániku

Procesom vzniku a zániku rozumieme homogénny Markovov proces s množinou stavov $S=\{0,1,2,\dots\}$ s počiatočným rozdelením $\mathbf{p}(0)=(0,\dots,0,1,0,\dots)$ a s nasledujúcim prechodovým grafom



Obr. 7: Prechodový graf procesu vzniku a zániku

Poznámka

Jedná sa o model populácie, v ktorej z niektorých jedincov vznikajú noví jedinci a iní jedinci pustupne zanikajú - odtiaľ tiež alternatívny názov proces rodenia a úmrtí.

Špeciálne prípady

- 1 lineárny proces vzniku a zániku intenzity prechodu sú lineárnymi funkciami stavov, v ktorých bol systém v predošlom okamihu napr. $\lambda_i=(i+1)\lambda,\lambda>0$ pre $i=0,1,2,\ldots$ a $\mu_i=i\mu,\mu>0$ pre $i=1,2,\ldots$,
- 2 proces rastu keď počet jedincov v systéme s časom len rastie t.j. $\lambda_i > 0$ pre $i = 0, 1, 2, \ldots$,
- 3 proces zániku keď počet jedincov v systéme s časom len klesá t.j. $\mu_i > 0$ pre i = 1, 2, ...,
- **4** konečný proces vzniku a zániku u ktorého je množina stavov $S = \{0, 1, 2, \ldots, n\}$ konečná, a tak $\lambda_i > 0$ pre $i \in S \{n\}$ a $\mu_i > 0$ pre $i \in S \{0\}$.

Konečný proces vzniku a zániku

Veta 2.11

Konečný proces vzniku a zániku je regulárny a má stacionárne rozdelenie $\pi=(\pi_j)_{j\in\mathcal{S}}$ určené

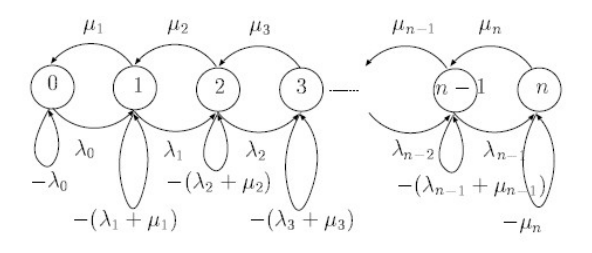
$$\pi_j = \pi_0 \frac{\lambda_0 \lambda_1 \dots \lambda_{j-1}}{\mu_1 \mu_2 \dots \mu_j} \quad j \in S - \{0\},$$
 (13)

kde

$$\pi_0 = \left(1 - \sum_{j \in S - \{0\}} \frac{\lambda_0 \lambda_1 \dots \lambda_{j-1}}{\mu_1 \mu_2 \dots \mu_j}\right)^{-1}.$$
 (14)

Dôkaz:

Ľahko sa presvedčíme, že v prechodovom grafe na obr.8 existuje medzi každou dvojicou vrcholov $i,j \in S, i \neq j$ orientovaný sled dĺžky n = |S| - 1. Najkratší sled dĺžky n je $0 \to n$. Pre ostatné sledy $i \to j, |i - j| < n$ môžme využiť slučky na dorovnanie dĺžok. Podľa Marklovovej vety 2.5 je proces regulárny.



Obr. 8: Prechodový graf konečného procesu vzniku a zániku

Podľa Marklovej vety 2.6 stačí nájsť všetky koreňové kostry vo vrcholoch, no tu existuje pre každý vrchol $j \in S$ jediná kostra s ohodnotením B_j

$$B_0 = \mu_1 \mu_2 \dots \mu_n, \quad B_1 = \lambda_0 \mu_2 \dots \mu_n, \quad \dots$$

$$B_j = \lambda_0 \lambda_1 \dots \lambda_{j-1} \mu_{j+1} \dots \mu_n, \quad \dots, B_n = \lambda_0 \lambda_1 \dots \lambda_{n-1}$$

Po dosadení do vzorca (6) máme vzťah (13) a z $\frac{\pi_j}{\pi_0} = \frac{B_j}{B_0}$ vzťah (14). ullet

Príklad 2.9

Vrátime sa k 5-tim guličkám. Bude predpokladať, že doba pobytu guličky v 1. urne má exponenciálne rozdelenie s parametrom $\mu, \mu > 0$ a v 2. urne má exponenciálne rozdelenie s parametrom $\lambda, \lambda > 0$. Udalosťou v tomto systéme je preskočenie niektorej guličky medzi urnami. Stabilizuje sa systém a aký bude stredný počet guličiek v 1. a 2. urne?

Množinou stavov v takomto systéme je počet guličiek v 1.urne, teda $S=\{0,1,2,\ldots,5\}$. Ďalej využijeme bezpamäťovú vlastnosť exponenciálneho rozdelenia ktorá zabezpečuje Markovovu vlastnasť modelujúceho procesu. Ak $\boldsymbol{\tau}_1 \sim Exp(\mu)$ a $\boldsymbol{\tau}_2 \sim Exp(\lambda)$ sú doby pobytu guličiek v 1. a 2. urne, Prametre oboch rozdelelení nezávisia na čase a tak sa jedná o homogénny proces.

Vypočítame pp. prechodu pre nejaký dostatočne malý časový interval dĺžky Δt , pričom sa sústredíme len na zmeny stavu vyvolané zmenou polohy nanajvýš jednej guličky. Zmeny polohy viac než jednej guličky v tomto intervale nastávajú s pp. $o(\Delta t)$.

Príklad 2.9 - pokračovanie I.

Teda $p_{ij}(\Delta t) = o(\Delta t)$ pre stavy $i, j \in S : |i - j| > 1$.

Pravdepodobnosť, že 1. urna je prázdna a žiadna gulička do nej preskočí je rovná súčinu pp., že guličky v priebehu časového intervalu dĺžky Δt nezmenia svoju polohu

$$p_{00}(\Delta t) = \mathcal{P}(\tau_2 > \Delta t)^5 + o(\Delta t) = e^{-5\lambda \Delta t} + o(\Delta t) =$$

= $1 - 5\lambda \Delta t + o(\Delta t)$.

Pravdepodobnosť, že 1. urna je prázdna a 1 gulička do nej preskočí je rovná súčinu pp., že 1 z 5-tich guličku v priebehu časového intervalu dĺžky Δt zmení 1 svoju polohu ale ostatné 4 nezmenia

$$p_{01}(\Delta t) = 5\mathcal{P}(\tau_2 \le \Delta t)\mathcal{P}(\tau_2 > \Delta t)^4 + o(\Delta t) =$$

$$= 5(1 - e^{-\lambda \Delta t})(e^{-\lambda \Delta t})^4 + o(\Delta t) =$$

$$= 5\lambda \Delta t + o(\Delta t).$$



Príklad 2.9 - pokračovanie II.

Potom ak je 1. urne i guličiek $(1 \le i \le 5)$ potom analogicky máme

$$\begin{array}{lll} p_{i,i-1}(\Delta t) & = & i(\mathcal{P}(\tau_{1} \leq \Delta t)(\mathcal{P}(\tau_{1} > \Delta t)^{i-1}\mathcal{P}(\tau_{2} > \Delta t)^{5-i} + \dots \\ & = & i(1 - e^{-\mu\Delta t})(e^{-\mu\Delta t})^{i-1}(e^{-\lambda\Delta t})^{5-i} + o(\Delta t) = \\ & = & i\mu\Delta t + o(\Delta t). \\ p_{i,i+1}(\Delta t) & = & (5 - i)(\mathcal{P}(\tau_{2} \leq \Delta t)\mathcal{P}(\tau_{1} > \Delta t)^{i}\mathcal{P}(\tau_{2} > \Delta t)^{4-i} + \dots \\ & = & (5 - i)(1 - e^{-\lambda\Delta t})(e^{-\mu\Delta t})^{i}(e^{-\lambda\Delta t})^{4-i} + o(\Delta t) = \\ & = & (5 - i)\lambda\Delta t + o(\Delta t). \\ p_{i,i}(\Delta t) & = & \mathcal{P}(\tau_{1} > \Delta t)^{i}\mathcal{P}(\tau_{2} > \Delta t)^{5-i} + o(\Delta t) = \\ & = & (e^{-\mu\Delta t})^{i}(e^{-\lambda\Delta t})^{5-i} + o(\Delta t) = \\ & = & 1 - (i\mu + (5 - i)\lambda)\Delta t + o(\Delta t). \end{array}$$

Príklad 2.9 - pokračovanie III.

Pravdepodobnosť že 1. urna je plná a jedna z jej guličiek preskočí je

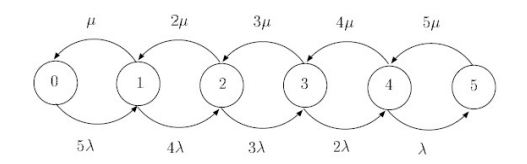
$$p_{54}(\Delta t) = 5\mathcal{P}(\tau_1 \leq \Delta t)\mathcal{P}(\tau_1 > \Delta t)^4 + o(\Delta t)$$

= $5(1 - e^{-\mu \Delta t})(e^{-\mu \Delta t})^4 + o(\Delta t) = 5\mu \Delta t + o(\Delta t).$

Konečne pp. že 1. urna zostane plná je

$$p_{55}(\Delta t) = \mathcal{P}(\tau_1 > \Delta t)^5 + o(\Delta t)$$

= $(e^{-\mu \Delta t})^5 + o(\Delta t) = 1 - 5\mu \Delta t + o(\Delta t).$



Teraz už ľahko zostrojíme prechodový graf a tak sa podľa vety 2.11 systém stabilizuje a výpočet stredného počtu guličiek v urnách ;-) môžeme ponechať na cvičenie.

Nekonečný proces vzniku a zániku

Veta 2.12

Nech pre proces vzniku a zániku s nekonečnou množinou stavov platí

$$\sum_{j=1}^{\infty} \frac{\lambda_0 \lambda_1 \dots \lambda_{j-1}}{\mu_1 \mu_2 \dots \mu_j} < \infty.$$
 (15)

Potom je proces regulárny a má stacionárne rozdelenie $\pi=(\pi_j)_{j=0}^\infty$ určené

$$\pi_j = \pi_0 \frac{\lambda_0 \lambda_1 \dots \lambda_{j-1}}{\mu_1 \mu_2 \dots \mu_j} \quad j \ge 1, \tag{16}$$

kde

$$\pi_0 = \left(1 - \sum_{i=1}^{\infty} \frac{\lambda_0 \lambda_1 \dots \lambda_{j-1}}{\mu_1 \mu_2 \dots \mu_j}\right)^{-1}.$$
 (17)

